

図1 小惑星登録数の変遷(ローウェル天文台)

150万

Astorb.datによる

100万

登録件数

50万

総登録数

登録番号付

2010

2015

元期

2020

2025

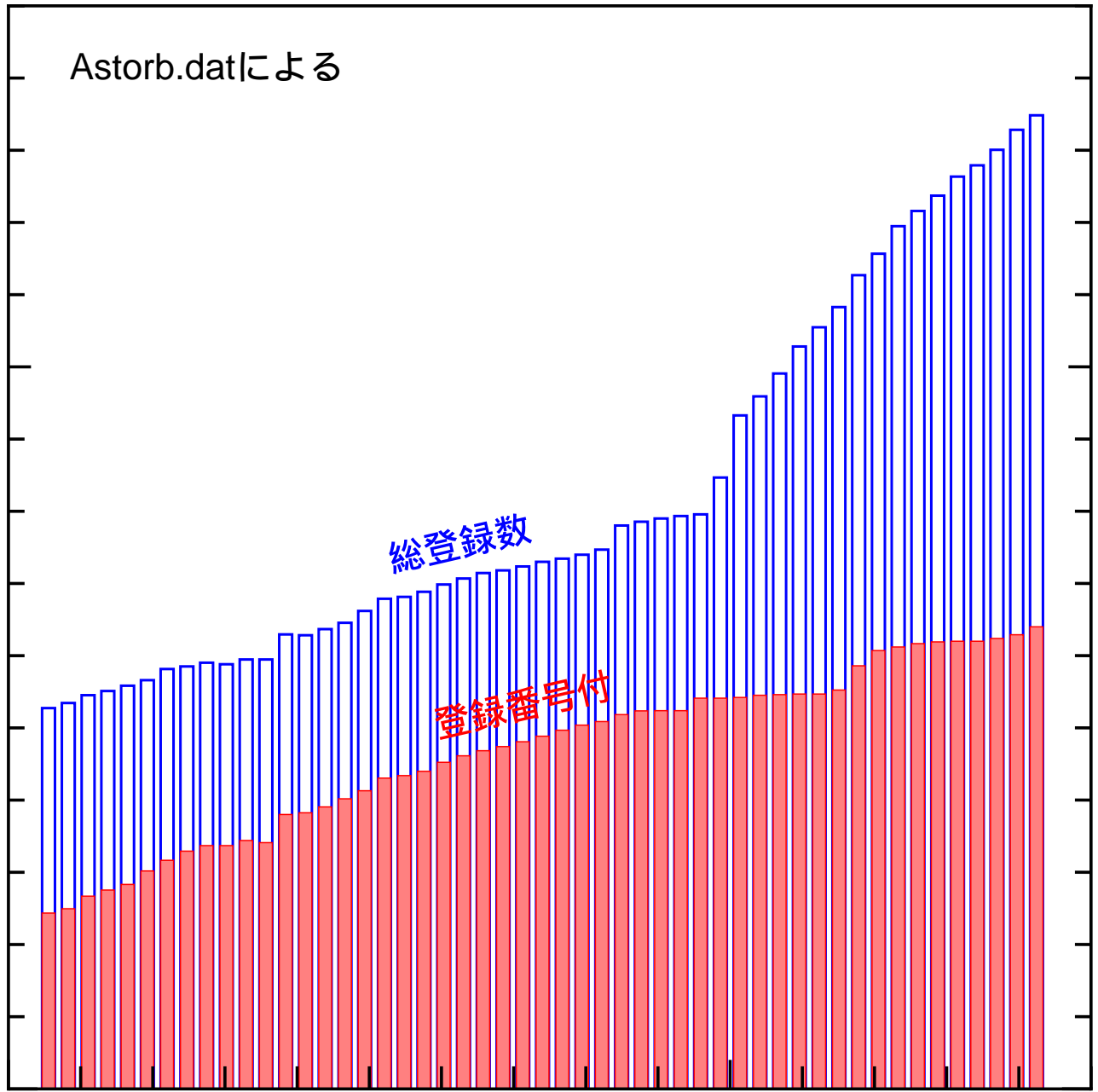


図2 メインベルト小惑星の分布

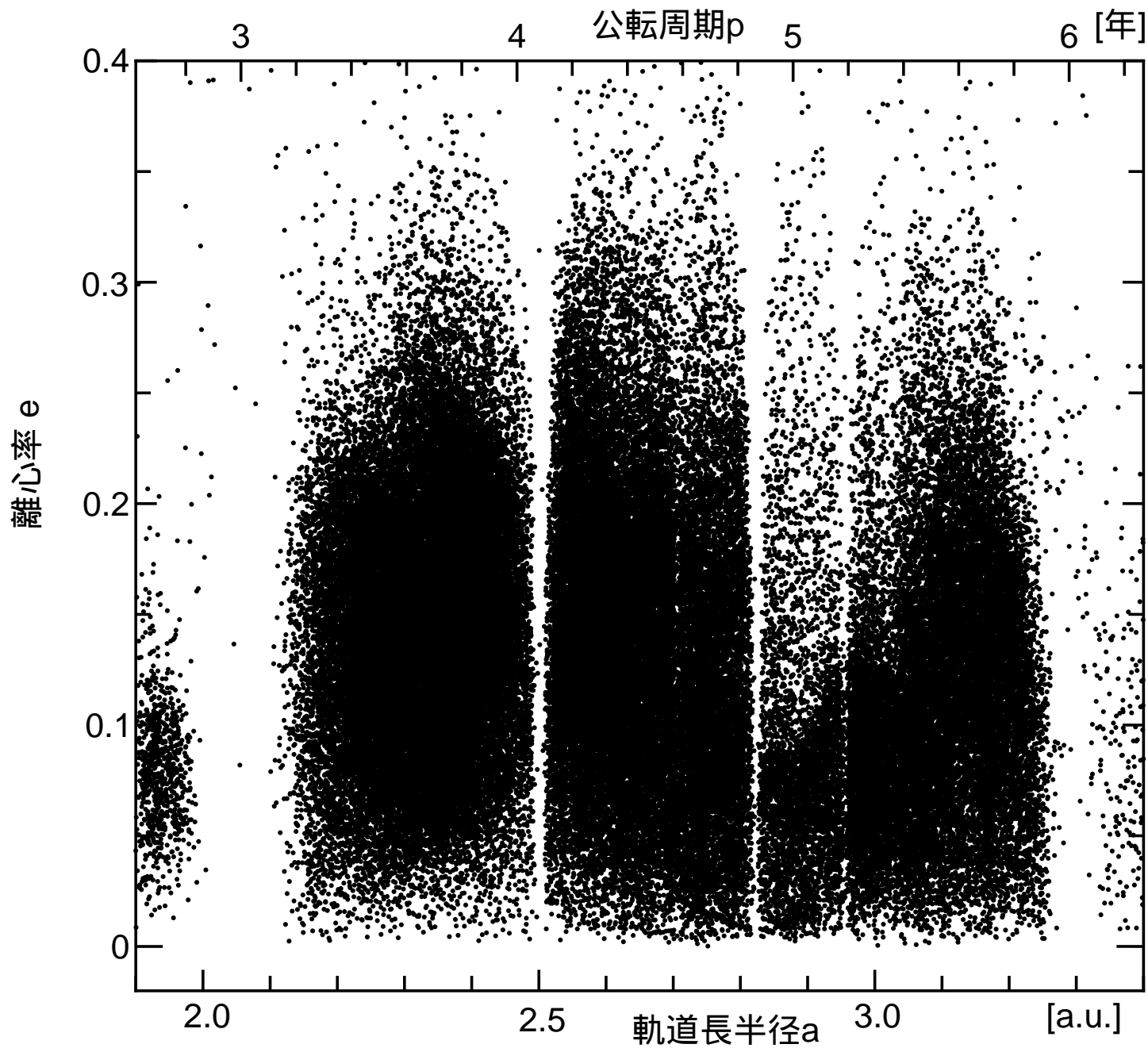


図3 メインベルト小惑星の離心率分布(刻み幅0.01au)

小惑星の数(棒グラフ)

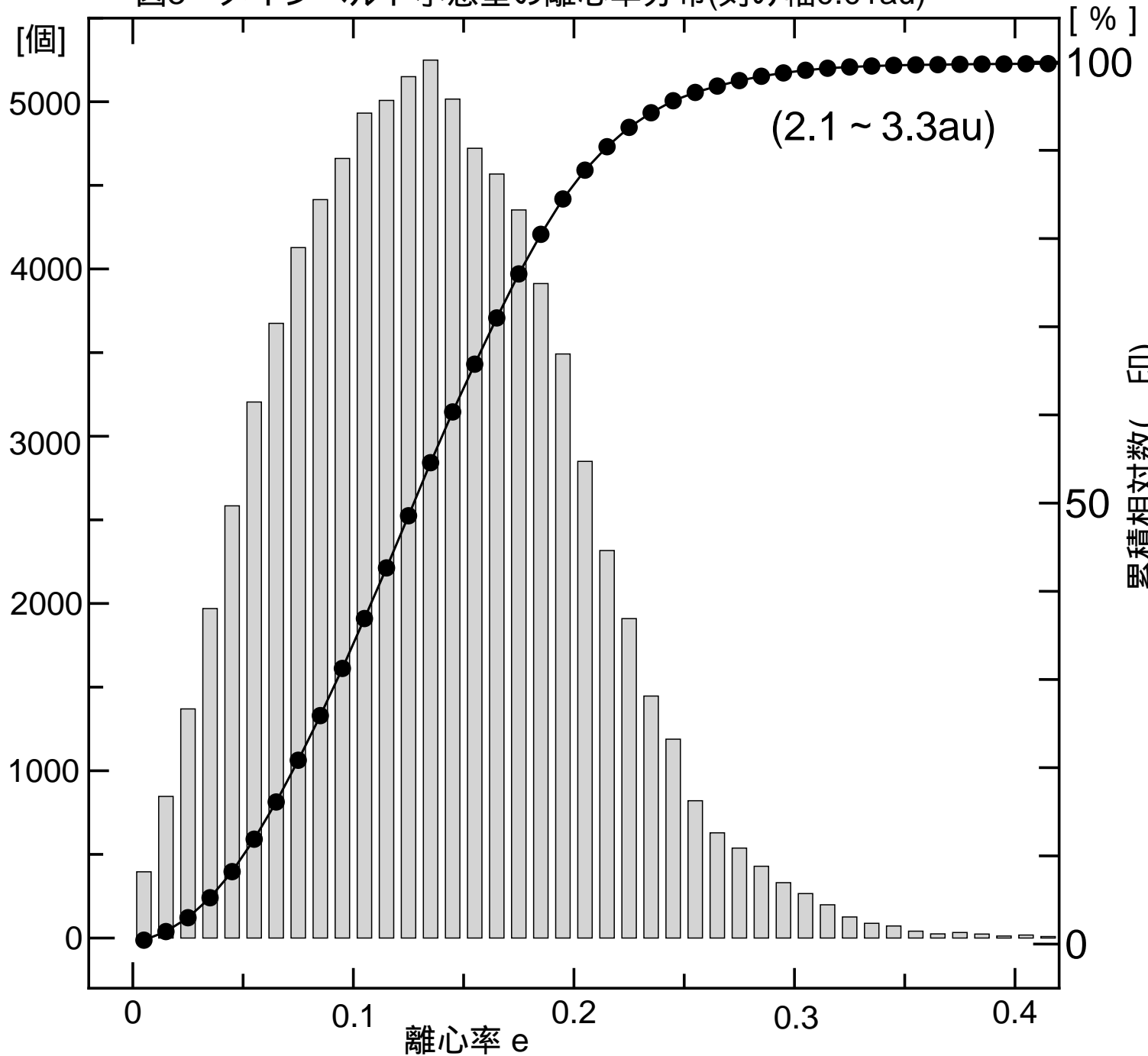
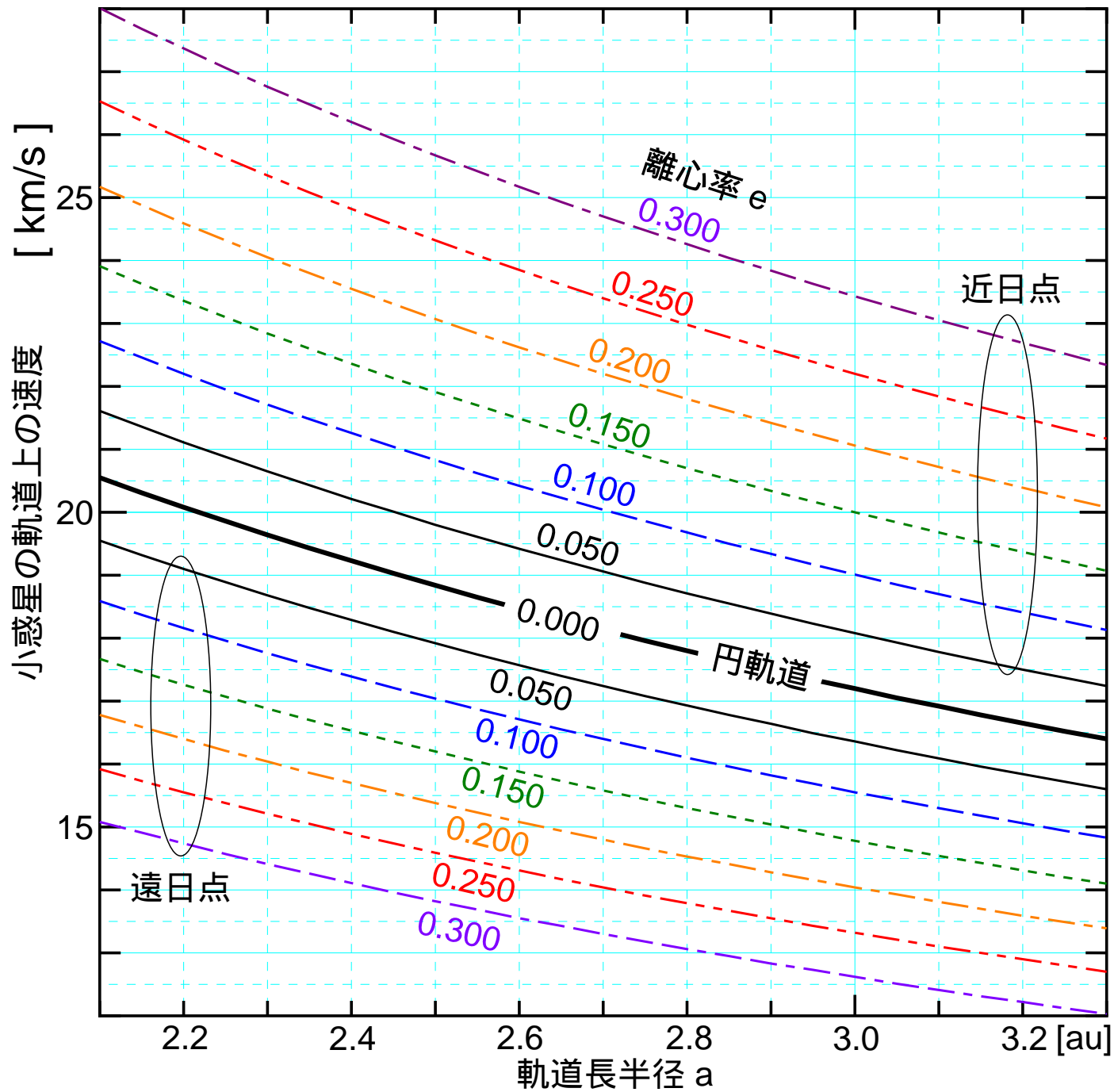


図4 軌道長半径に対する離心率と移動速度



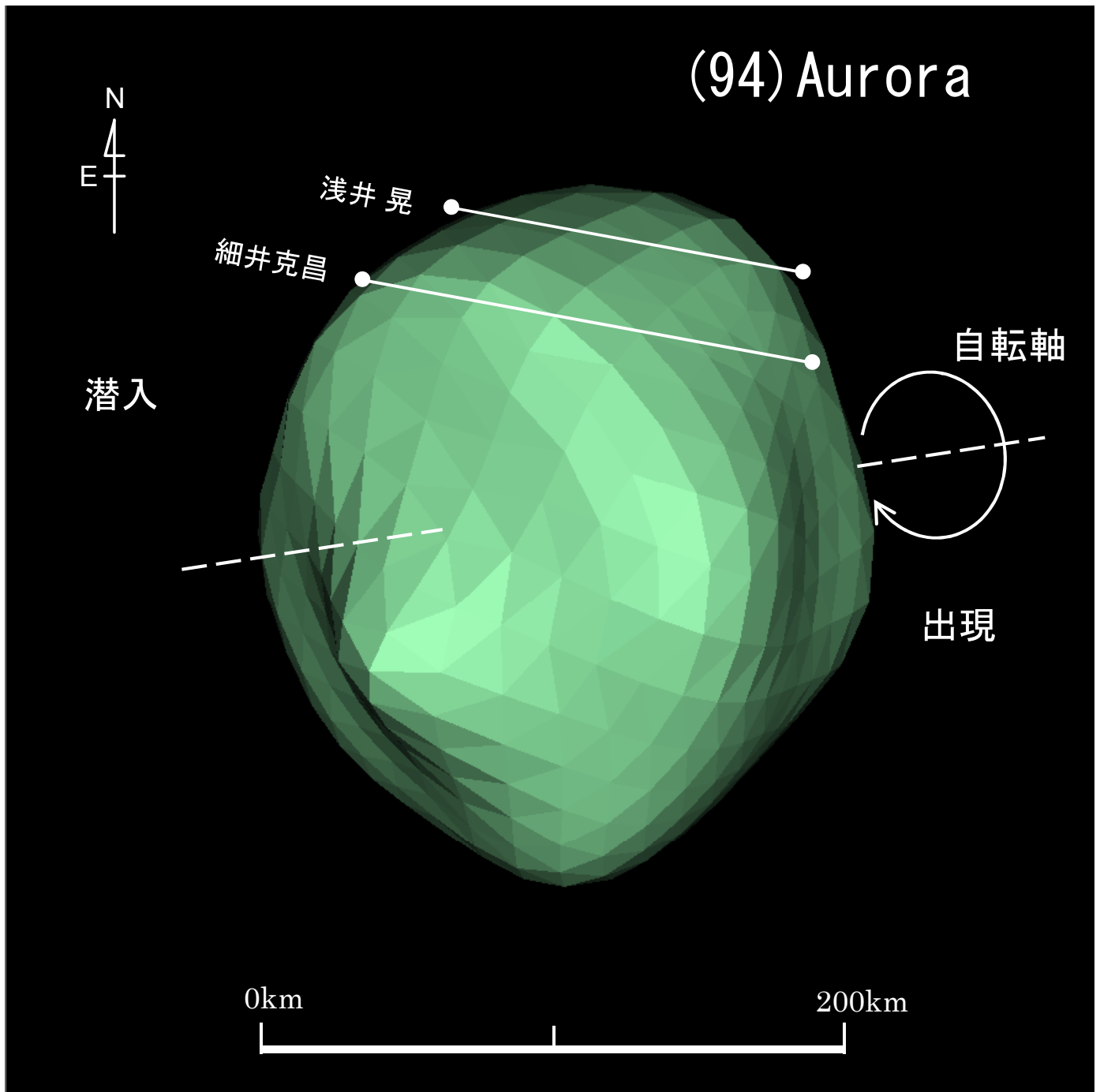


図5 (94) Aurora 2023年10月22日 10h09m29s UT DAMIT Model 1831 ( $\lambda = 244$ 、 $\beta = +0$ )  
 $P = 279^\circ$ 、 $\beta_e = -58^\circ$ 、 $\lambda_e = -57^\circ$ 、Scale Factor 1:1、 $k = 0.981$ 、 $B = 270.3^\circ$

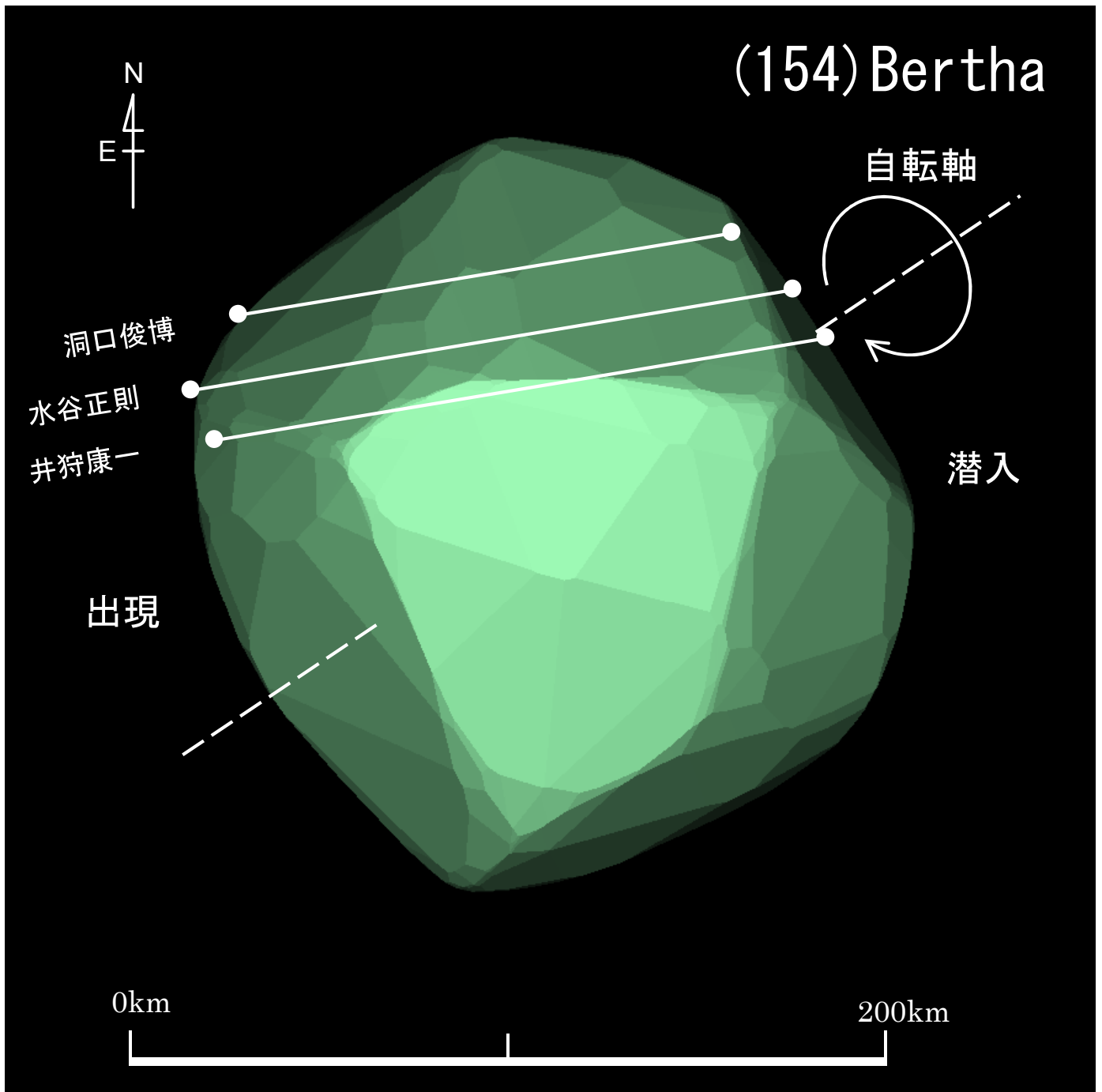


図6 (154) Bertha 2022年11月5日 12h15m02s UT DAMIT Model 940 ( $\lambda = 28$ 、 $\beta = +34$ )  
 $P = 304^\circ$ 、 $\beta_e = -53^\circ$ 、 $\lambda_e = +151^\circ$ 、Scale Factor 1: 142.1、 $k = 0.998$ 、 $B = 45.5^\circ$

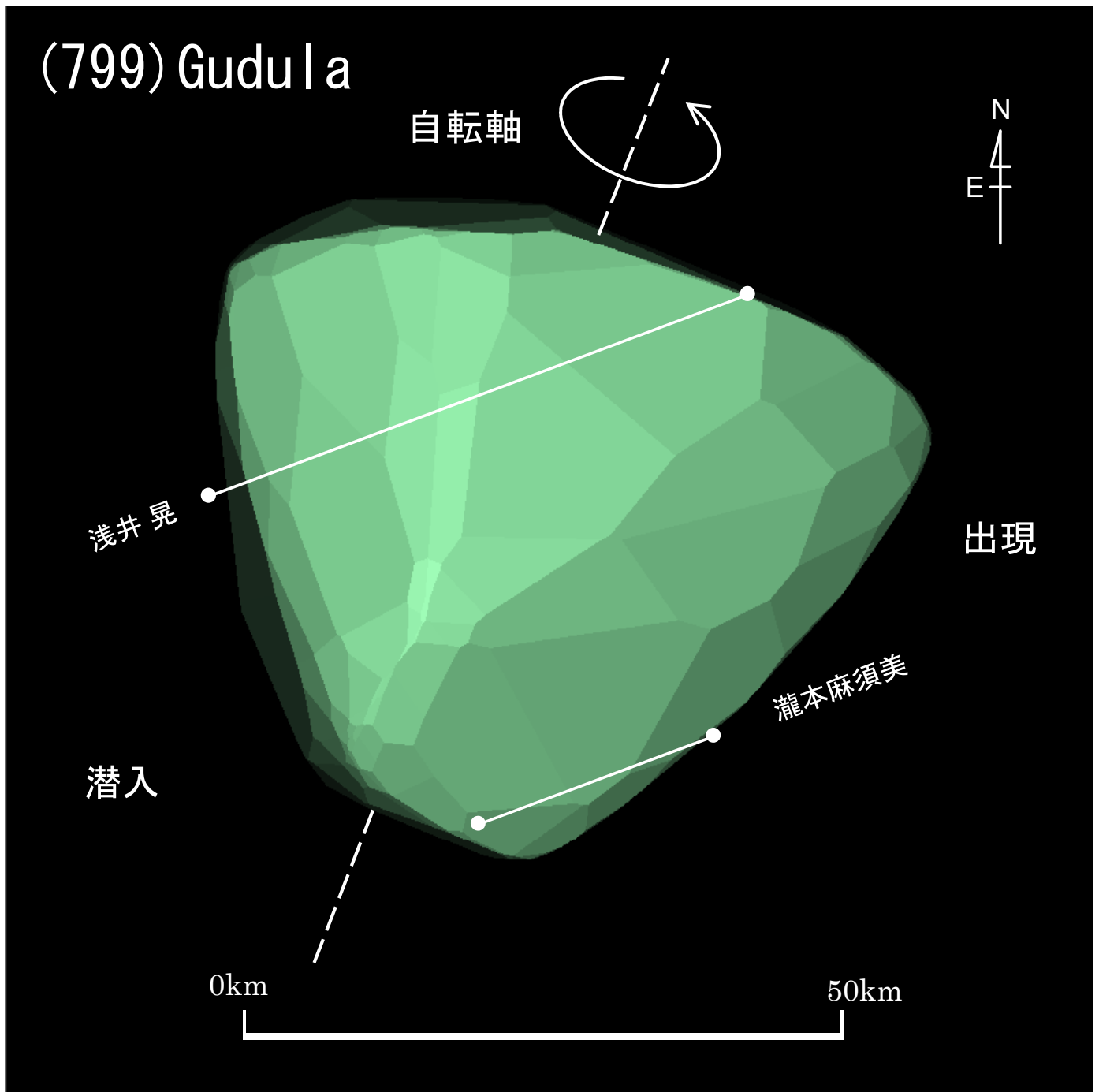


図7 (799) Gudula 2023年11月7日 19h31m24s UT DAMIT Model 3516 ( $\lambda = 350$ 、 $\beta = +46$ )  
 $P = 339^\circ$ 、 $\beta_e = +35^\circ$ 、 $\lambda_e = -162^\circ$ 、Scale Factor 1: 44.5、 $k = 0.961$ 、 $B = 104.9^\circ$

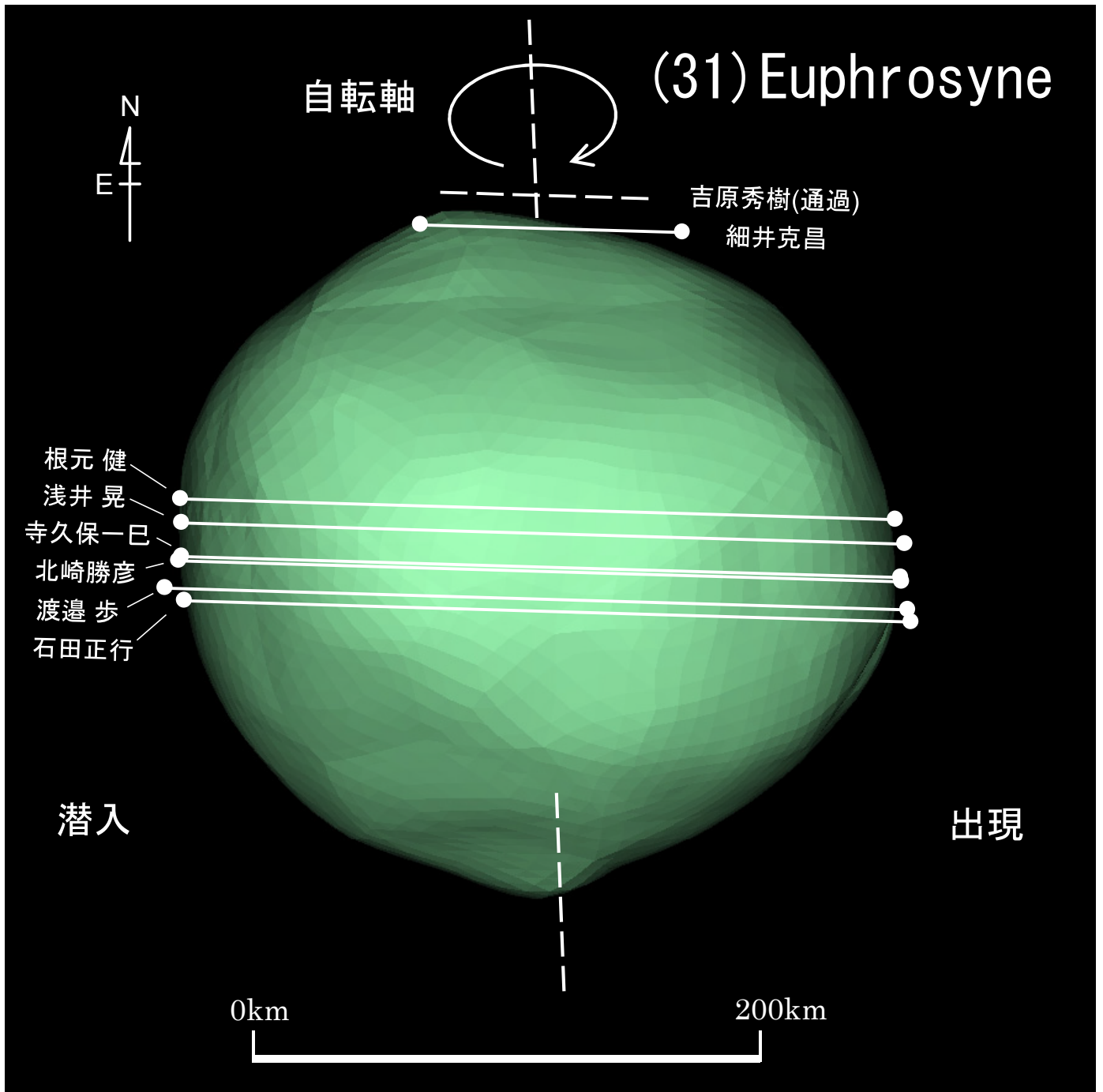


図8 (31) Euphrosyne 2023年11月17日 18h53m26s UT VLT/SPHERE Model ( $\lambda = 92.46$ 、 $\beta = +68.35$ )  
 $P = 3^\circ$ 、 $\beta_e = -38^\circ$ 、 $\lambda_e = +105^\circ$ 、Scale Factor 1:1、 $k = 0.961$ 、 $B = 117.3^\circ$

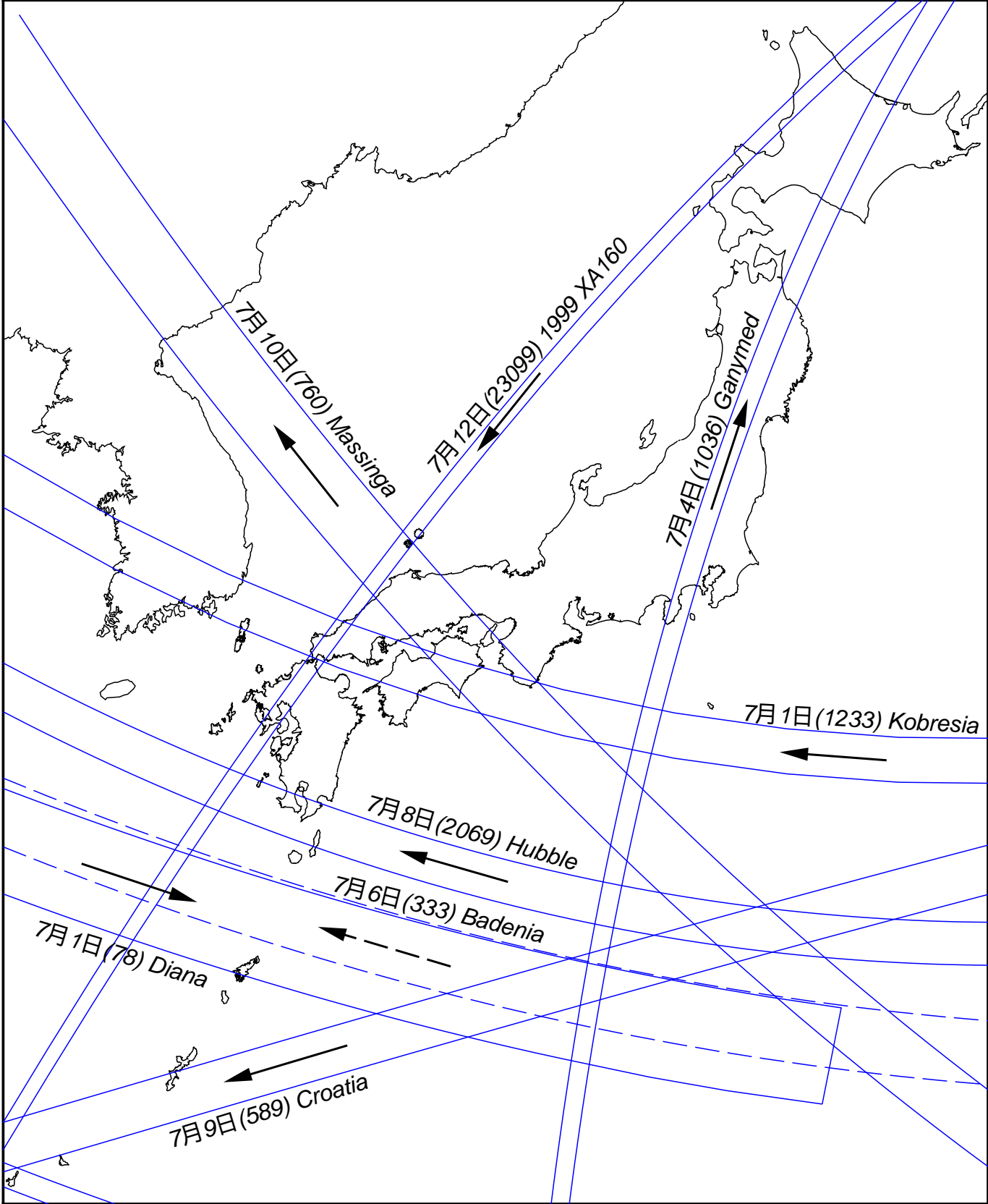


図9 小惑星による主な掩蔽帯経路 (S.Preston初期予報ほか) 2024年7月前半  
 矢印は影の移動方向を示す

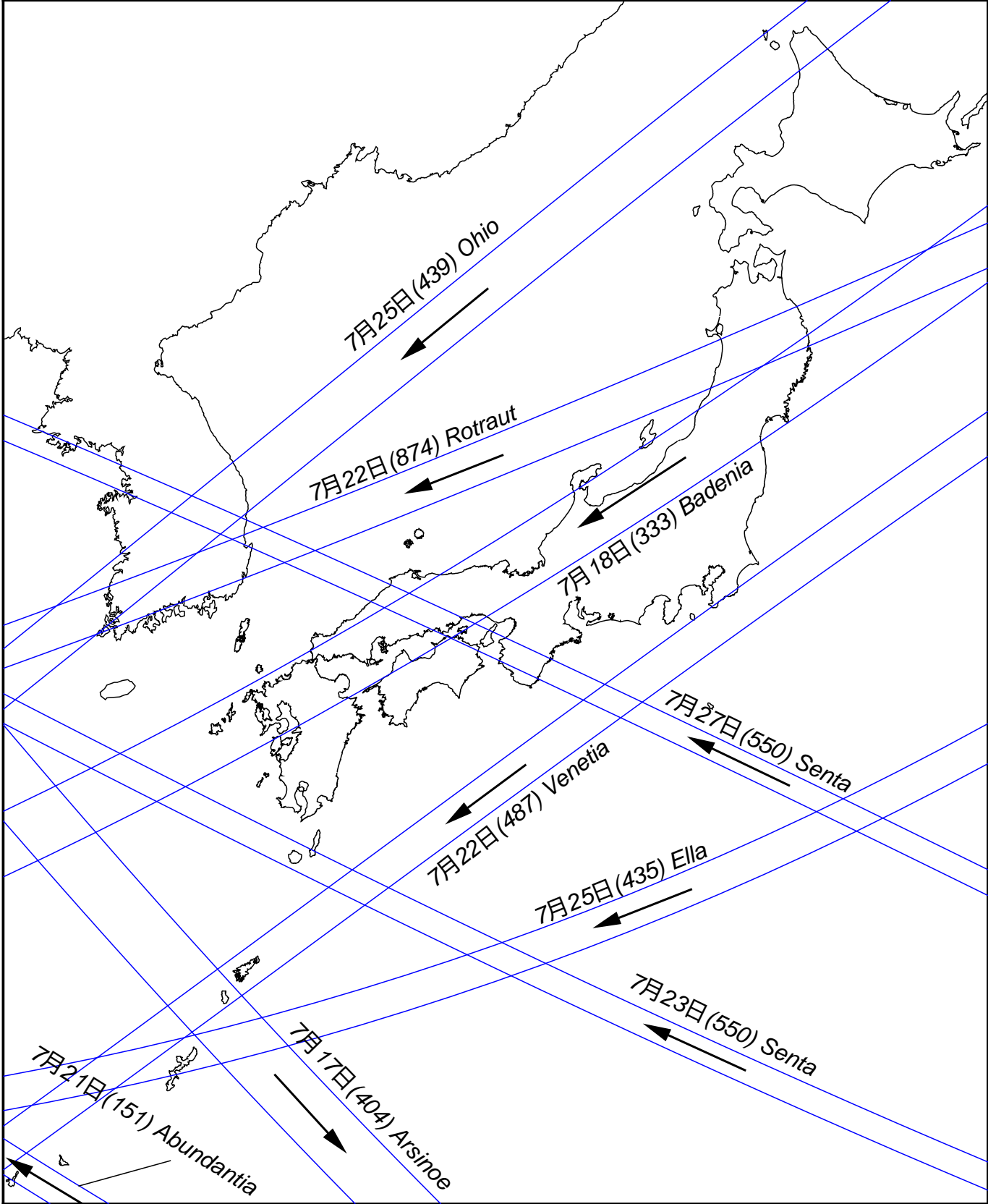


図10 小惑星による主な掩蔽帯経路 ( S.Preston初期予報ほか ) 2024年7月後半  
 矢印は影の移動方向を示す